

## 対流圈硫黄酸化物の生成・消滅に対する雲の影響

新添多聞\*・村松久史

\*京都大学大学院理学研究科

### 要　旨

対流圈硫黄化合物( $SO_4^{2-}$ ,  $SO_2$ ,  $DMS$ ,  $H_2S$ )の3次元輸送-化学モデルを開発するにあたり、雲のclimatology dataを用いて、大気中凝結水量を見積ることにより、硫酸粒子の生成を支配する $SO_2$ ガスの液相における酸化過程を陽に表現した。さらに従来の輸送モデルのスキームに従って液相酸化過程を表現したモデルを作成し、実際に硫酸濃度場にどの程度の差が現れるか対照実験を行った。

キーワード： 対流圈硫酸、凝結水量、液相化学

### 1. 序

#### 1.1 はじめに

対流圈硫酸粒子が地球の放射場に対して負の強制力をもっているとして近年注目を集めている。この強制力を見積るためにまずは、硫酸の大気中濃度を知る必要があるが、現在のところ観測データはあまりに乏しい。よって、濃度分布を再現、または予測できる3次元モデルの開発が必要になる。

対流圏に存在する非海塩硫酸粒子は、そのほとんどが大気中の $SO_2$ が酸化されて生成されるが、その生成過程には大別して次の2通りがある。

- $SO_2$ ガスが $OH$ ラジカルによって酸化される。(気相酸化反応)
- 凝結水に溶け込んだ $SO_2$ が凝結水中で酸化される。(液相酸化反応)

このうち、硫酸粒子の90%以上は雲水中の液相において生じていると考えられている(Langner and Rodhe, 1991など)。しかしその扱いが困難なため従来の3次元輸送-化学モデルではこれを無視するか、極めて簡略化しており、大きな問題点とされてきた。そこで本研究では硫酸の生成を支配している液相酸化過程を陽に表現したモデル(Explicit Model)の開発を行なう。さらに液相酸化過程を従来のスキームに従ってパラメタライズしたモデル(Implicit Model)を作成し、この二つのモデルにより硫酸濃度にどれほどの違いが生じるかを比較検討することを目的とする。

#### 1.2 対流圈硫黄化合物の3次元輸送-化学モデルの概要

Fig.1は対流圏における硫黄循環の模式図である。今回扱う化学種はガス状物質として $SO_2$ ,  $DMS$ (dimethyl sulfide: $CH_3SCl_3$ ),  $H_2S$ 、エアロゾルとして $SO_4^{2-}$ の4種である。厳密に言うと、硫酸基( $SO_4^{2-}$ )を有するエアロゾルは、硫酸粒子( $H_2SO_4$ )と硫酸塩粒子( $(NH_4)_2SO_4$ ,  $CaSO_4$ など)に区別され、それぞれ光学特性が異なるが、ここでは区別せず、単に $SO_4^{2-}$ と呼ぶこととする。 $COS$ は成層圏では $SO_4^{2-}$ の主な前駆種として重要な(Crutzen 1976)が、対流圏では極めて安定であるため無視した。また土壤、海塩粒子中の $SO_4^{2-}$ も考慮していない。線で囲んだ $SO_4^{2-}$ が濃度を求めるべき気相の $SO_4^{2-}$ であり、太線で示した経路が本研究で着目する $SO_2$ の液相酸化過程である。

本研究で製作したモデルは対流圈硫黄化合物に対する全球3次元輸送-化学モデルである。変質、除去過程を考慮しやすいうように、オイラー形式を採用した。解像度は水平に対して $2.5^\circ \times 2.5^\circ$ 、鉛直に対して等圧面座標で1000, 850, 700, 500, 300, 200, 100hPaの7層とし、濃度は各格子点を中心とするgrid boxの平均値として評価する。濃度の時間発展は質量保存の式(1)により与えられる。

$$\rho \frac{\partial \mu_i}{\partial t} = -\rho \mathbf{U} \cdot \nabla \mu_i - \nabla \cdot \rho (\mathbf{K} \cdot \nabla \mu_i)$$

## Tropospheric Sulfur Cycle

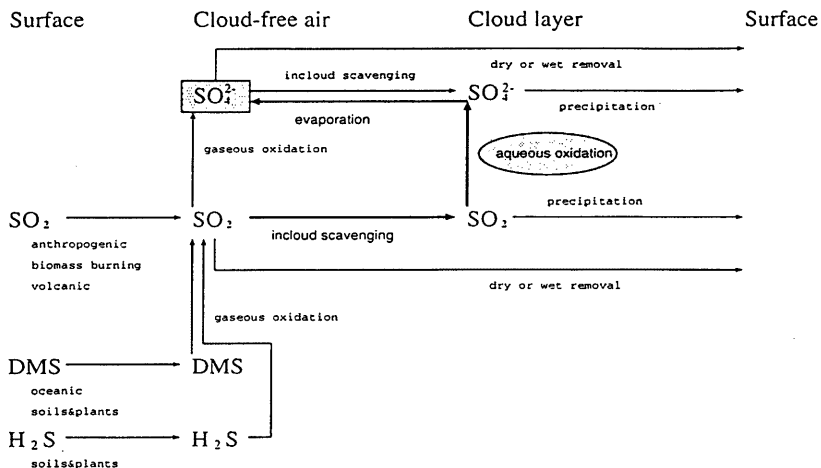


Fig. 1 Schematic representation of tropospheric sulfur cycle

$$+M_i + S_i - \rho \mu_i L_i \quad (1) \quad (\text{Cu,St,Sc,Ac,As,Ns,Cb}) \text{ ごとの雲量および雲頂気圧の月平均データを用い、凝結水量を見積もった。}$$

$\mu_i$ : 質量混合比,  $U$ : 風,  $\rho$ : 大気密度,

$K$ : 拡散テンソル,  $M_i$ : 対流雲による鉛直輸送量,

$S_i$ : 生成量,  $L_i$ : 消滅率

time step は移流、拡散、放出に関して 10 分、変質、除去に関して 1 時間である。対流雲による鉛直輸送に関しては後述する。対象期間は 1985 年の 1 年間とする。 $\text{SO}_4^{2-}$  の生成量は  $\text{SO}_2$  の酸化反応による消滅率  $L$  によって決定される。Explicit Model および Implicit Model は  $\text{SO}_2$  の液相酸化過程の扱い以外は全く同一のモデルである。

### 2. 凝結水量の見積り

液相酸化反応は凝結水の濃度(凝結水量)に大きく依存するために、その効果を評価するには凝結水量のデータが必要となる。ところが凝結水量の全球 3 次元データは観測、モデルの結果共にほとんど皆無である。凝結水量に近い物理量として可降水量があるが、可降水量の分布は凝結水量とは大きく異なるため、これを利用することはできない。そこで、ISCCP(International Satelite Cloud Climatology Project) D2 dataset の 7 つの cloud type

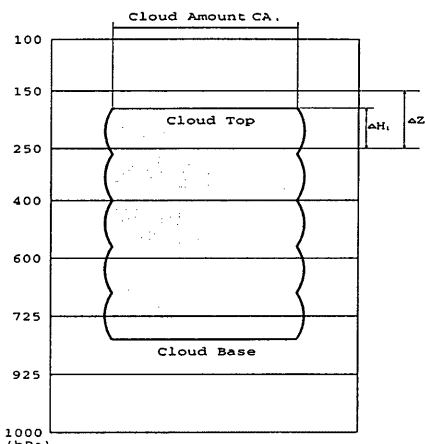


Fig. 2 Schematic representation of cloud vertical structure

Cloud Type	鉛直規模 ( $\Delta H_i$ , km)	凝結水量 ( $lwc_i$ , gm $^{-3}$ )
Cu	1.0	0.5
St/Sc	0.7	0.3
Ac/As	0.8	0.1
Ns	2.7	0.1
Cb		
(Tropical)	5.0	1.0
(Others)	2.5	1.5

Table 1 vertical extent and liquid water content of each cloud type

まず各 cloud type ごとに見積もる。Fig.1はモデルの鉛直気柱の概念図である。雲頂気圧および雲量はISCCPにより与えられる。そこで雲の平均的な鉛直規模を仮定すれば、各層における雲の厚み  $\Delta H_i$  ( $i$  は cloud type を表す) が定まる。Cbのみ雲底を925hPaに固定した。雲は鉛直方向に一様であるとすると、雲量  $C_A_i$ 、層の厚み  $\Delta Z$  から、各 grid boxにおいて雲が占める体積の割合(体積占有率)  $V'_i$  が求まる。ただし、気温  $T$  が  $T < 253K$  では液体の水は存在しないとして、 $V'_i = 0$ とした。 $T$  の値は ECMWF/WMO 客観解析データの 1985 年の月平均値を用いている。

$$V'_i = C_A_i \times \frac{\Delta H_i}{\Delta Z} \quad (2)$$

いま、各 type の雲は独立に存在する、即ち、重なりあう部分はないとして、雲の中での平均的な凝結水量  $lwc_i$  を仮定すると、grid box の凝結水量  $LWC_i$  は、

$$LWC_i = lwc_i \times V'_i \quad (3)$$

となるはずである。用いた定数の値は Lelieveld et al.(1989), Hegg(1985) より、Table1の通り。

これを直接たしあわせて見積もった凝結水量から、各気柱の鉛直積分凝結水量 (liquid water path) を計算し、これを SSM/I(Special Sensor Microwave Imager) dataset の liquid water path と比較すると、およそ数倍の過大評価となる。そこで補正係数  $F_i$  ( $0 < F_i \leq 1$ ) を定め、式(3)の  $V'_i$  を  $V_i = V'_i \times F_i$  に置き換えてたしあわせて、grid box の凝結水量  $LWC$  を求める。

$$LWC = \sum_i LWC_i \cdot V_i \quad (4)$$

そして SSM/I の liquid water path の zonal mean に対して、計算された liquid water path の zonal mean を最小自乗法により fitting させることで、 $F_i$  を決定する。ただし、 $F_i$  は全球を緯度 30 度ごとに

区切った 6 つの領域に対して 1 つずつ与える。また、これは海洋上の liquid water path に対してのみ行われる。それは SSM/I のデータが海洋上のみにおいて与えられているからである。

この結果が Fig.3 である。横軸に SSM/I の値、縦軸に計算された値を取り、プロットした。直線上に点が乗れば、一致していることになる。相関係数で 6.5 前後であり、簡単な手法によって凝結水量を求めたわりには良い一致が見られている。Fig.3 で示したのは 4 ヶ月分であるが、他の月においても同様の対応が見られる。

fitting はあくまで洋上の liquid water path に対してなされたものであるが、こうして調整した凝結水量は陸上においても、また鉛直方向に対しても正しいとする。

### 3. $SO_2$ の液相酸化反応率

ここでは今回開発した Explicit Model および従来のスキームに従った Implicit Model における  $SO_2$  の液相酸化過程の扱いについて述べる。

#### 3.1 Explicit Model

Explicit Model は  $SO_2$  の液相酸化過程をなるべく陽に表現したモデルである。 $SO_2$  の液相における酸化反応としては、(1)  $H_2O_2$ 、または  $O_3$  による酸化、(2) 金属イオンを触媒とする  $O_2$  による酸化、の 2 種類がある。汚染大気中では後者の効果が大きいとされるが、いまだ不明の点が多く、評価するのは困難であるため、前者のみ扱うこととする (Fig.4)。

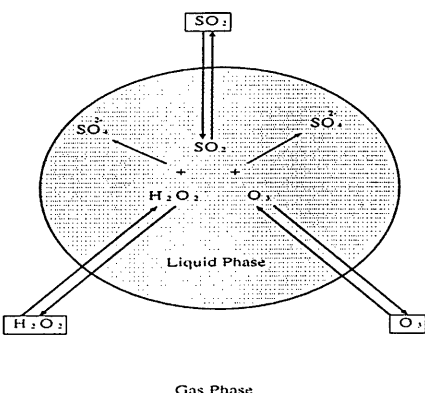


Fig. 4 Aqueous oxidation of  $SO_2$

物質 J について、バックグラウンドの気相、凝結

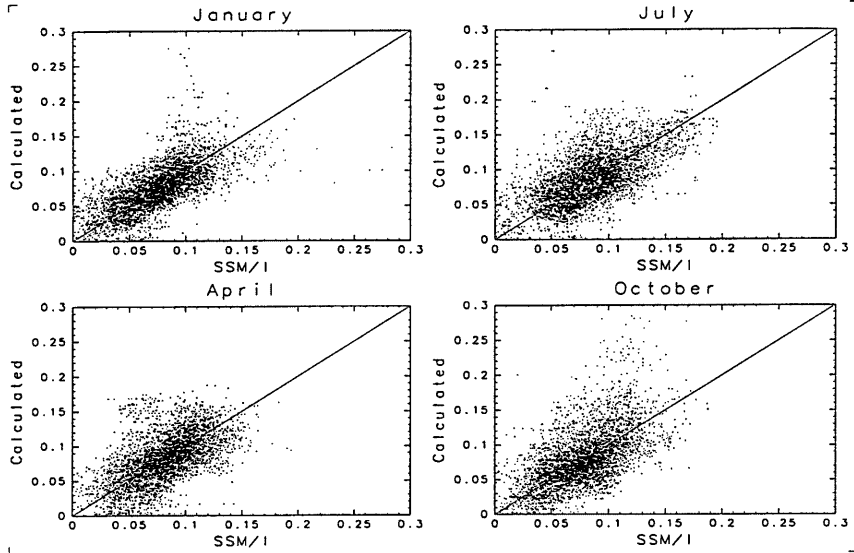


Fig. 3 Correlation of liquid water path between SSM/I Database and calculated (Unit: $kg/m^2$ )

水表面上の気相、凝結水内の液相の濃度をそれぞれ  $n_J$  ( $molecule/cm^3$ )、 $n_J^{eq}$  ( $molecule/cm^3$ )、 $[J](mol/l)$  とする。凝結水表面上の気相と凝結水内の液相の間に気液平衡を仮定すると、次の 2 式が成り立つ(Giorgi et al. 1985)。

ヘンリーの法則より

$$[J] = \frac{n_J^{eq} \times 10^3}{N_A} H' RT \quad (5)$$

質量保存より

$$n_J = [J]N_A \cdot LWC \times 10^{-9} + n_J^{eq} \quad (6)$$

ただし、 $H'$  は有効ヘンリー定数、 $R$  は気体定数、 $N_A$  はアボガドロ数、 $LWC$  は凝結水量 ( $g/m^3$ )、 $T$  は気温。

(5)(6) より  $n_J^{eq}$  を消去すると、

$$[J] = \frac{n_J}{N_A \cdot LWC \times 10^{-9} + \frac{N_A}{H' RT \times 10^3}} \quad (7)$$

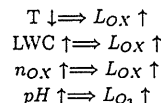
となり、気相の濃度から液相の濃度が求まる。2 次の反応速度定数を  $k(l \cdot mol^{-1} \cdot s^{-1})$  とすると、液相において、単位時間当たりに酸化剤  $OX(H_2O_2$ 、もしくは  $O_3$ ) により酸化される  $SO_2$  は

$$-\frac{\partial [SO_2]}{\partial t} = k_{OX} \cdot [OX] \cdot [SO_2] \quad (8)$$

となる。これに凝結水量をかけあわせれば、単位体積の大気中において酸化される  $SO_2$  の量がわかる。結果として、

$$-\frac{\partial \mu_{SO_2}}{\partial t} = L_{OX} \cdot \mu_{SO_2} \quad (9)$$

$L_{OX}$  は  $OX$  による  $SO_2$  の酸化反応率であり、凝結水量、気温、凝結水の pH、酸化剤の濃度の関数である。対応関係は次のようになる。ヘンリー定数、反応速度定数は Chameides(1984) の値を用いた。



ただし今回は  $pH = 5$  に固定した。酸化剤の濃度は Hough(1991) の光化学モデルの結果から、緯度、高度の関数として与える。 $O_3$  は季節ごとに与えるが、 $H_2O_2$  は季節変化しない。

このようにして見積もった各 grid box での反応率の zonal mean が Fig.5 の左側である。850 ~ 700 hPa の下層に集中している。また、気温が低いほど酸化率が高くなることを反映して、冬半球中緯度で最大となることがわかる。最大値は  $2 \times 10^{-4}$  程度で、これは  $SO_2$  の寿命にして約 3 時間に相当する。

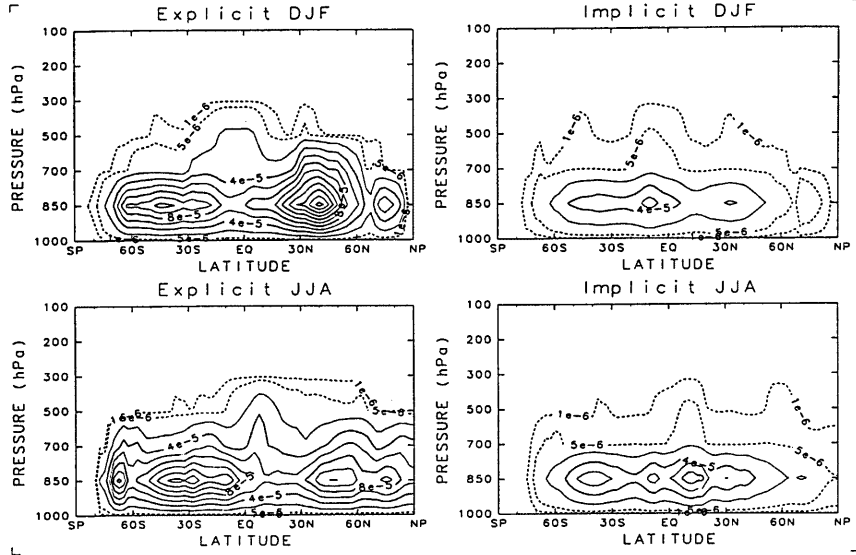


Fig. 5 seasonally zonally averaged aqueous oxidation rate of  $\text{SO}_2$  (Unit:  $\text{s}^{-1}$ )

Leftside:Explicit Model, Rightside:Implicit Model

Upside:December to February, Downside:June to August

### 3.2 Implicit Model

Implicit Model は Langner and Rodhe(1991) に従い、 $\text{SO}_2$  の液相酸化過程を雲の体積占有率  $V_i$  で parametrize したモデルである。

まず 7 つの cloud type ごとに、雲の内部での平均的な上昇速度  $w_i$  を仮定する。Lelieveld et al.(1989) より、以下の通り。

- $Cb: 5.0 \text{ m/s}$
- $Cu: 1.0 \text{ m/s}$
- $St/Sc, As/Ac, Ns: 0.05 \text{ m/s}$

$w_i$  と Table1 の鉛直規模  $H_i$  から、気塊がその雲の中に存在する時間  $\tau_{ci}$  は

$$\tau_{ci} = \frac{H_i}{w_i} \quad (10)$$

となる。これを体積占有率  $V_i$  により重量平均をとれば、grid box において気塊が雲の中に存在する時間  $\tau_c$  は

$$\tau_c = \frac{\sum_i (V_i \tau_{ci})}{V_c} \quad (11)$$

となる。ただし、 $V_c = \sum_i V_i$ 。気塊が雲の外に存在する時間を  $\tau_{nc}$  として、 $\tau_c$  と  $\tau_{nc}$  の比が雲の存在する部分と存在しない部分の体積の比に等しいとすれば、

$$\tau_{nc} = \frac{1 - V_c}{V_c} \tau_c \quad (12)$$

となる。ここで、気塊が雲の中に入ると、その中の  $\text{SO}_2$  はすべて瞬時に  $\text{SO}_4^{2-}$  に酸化されるとすると、grid box における  $\text{SO}_2$  の液相酸化反応による寿命  $\tau_{aq}$  は

$$\tau_{aq} = \tau_{nc}(1 - V_c) \quad (13)$$

となる。よって、酸化反応率  $L$  は以下のようになる。

$$L = \frac{1}{\tau_{aq}} \quad (14)$$

この方法では、液相酸化反応は雲が多いほど、それも積雲が多いところほど、盛んであるということになる。こうして見積もった反応率の zonal mean が Fig.5 の右側である。Explicit Model の場合と比較すると、下層に集中するのは同じであるが、熱帯および冬季の南半球中緯度で最大となっている。また、値の大きさ自体は Explicit Model のおよそ半分となっている。水平方向で見ると、Implicit Model は主に海上で強くなるが、Explicit Model は内陸部にも強いところが見られる。

以上のことから、硫黄化合物の放出量は人為起源の集中する北半球に偏っているため、北半球冬季高緯度で  $SO_4^{2-}$  濃度に大きな違いが生じることが期待される。

#### 4. 輸送一化学モデル

ここではモデルの液相酸化過程以外、即ち Explicit Model、Implicit Model の共通部分について解説する。

##### 4.1 放出起源

硫黄化合物の放出起源は人為起源と自然起源に分けられる。

人為起源としては、化石燃料の燃焼や産業活動によって主に  $SO_2$  ガスとして排出される。放出量のデータとして GEIA(Global Emissions Inventory Activity) Inventory version 1B を用いた。これは 1985 年における人為起源  $SO_2$  の放出量を季節ごとにまとめたもので、point source(発電所など)と area source(車のエンジンなど)を分けて与えている(Voldner et al., 1996)が、モデルでは区別していない。放出量は季節ごとに与えるが、季節による変化はあまり見られない(Fig.6)。

自然起源としては、陸上からは土壌の微生物による有機硫黄化合物の発酵分解や植物から  $H_2S$  や DMS、海からは植物プランクトンの代謝産物として DMS が放出される。また農業活動や山火事による植物の燃焼(biomass burning)、火山の爆発や噴気口からの排出により、 $SO_2$  ガスが放出される。データは Spiro et al.(1992) の 1980 年に対する月ごとの Inventory を用いた。(Fig.7:DMS)。モデルの対象期間は 1985 年であるが、自然起源の放出量の経年変化はわずかであると考える。

硫黄化合物の放出は火山からの  $SO_2$  以外は最下層の box に対して、火山からの  $SO_2$  はその放出の高度に応じた box に対して与える。また、放出された硫黄化合物はその box において瞬時に一样に混ざるとした。

モデルに用いた硫黄化合物の年間放出量を Table2 にまとめた。カッコの中の値はそれぞれ全球放出量に対する割合を表している。北半球からの人為起源  $SO_2$  が全体の 7 割弱を占めることがわかる。自然起源の放出量、特に海からの DMS は研究により見積もりに大きな差があり、ここでは 12TgS/yr で全体の 13% にすぎないが、30TgS/yr 以上という報告もある(Möller, 1995)。

##### 4.2 移流・拡散

移流・拡散項は、key box method により、隣合う box 間の輸送量を求ることにより計算する。風の 3 次元データとして、ECMWF/WMO の東西風

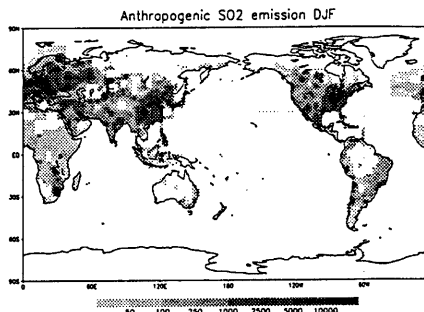


Fig. 6 Anthropogenic  $SO_2$  emission averaged from December to February (Unit: $\mu gS/m^2/day$ ) from GEIA Inventory version 1B

$u$ , 南北風  $v$ , 等圧面座標での鉛直流  $w$  の 12 時間ごとの値を time step に応じて線形内挿して用いた。拡散係数は空間解像度に依存するものであり、本来は調整することによって決定するべきものであるが、今回は Ishikawa(1995) の値をそのまま用いた。

$$\text{水平拡散係数} = 1.0 \times 10^5 (m^2/s)$$

$$\begin{cases} 24.0|u| & (\text{最下層}) \\ 0.37|u| & (\text{第2層以上}) \end{cases}$$

##### 4.3 気相酸化過程

気相において、OH radical により  $SO_2$  は  $SO_4^{2-}$  へ、DMS、 $H_2S$  は  $SO_2$  に酸化される。DMS から  $SO_2$  に酸化される際の中間生成物は考慮していない。OH radical の濃度は Spivakovsky(1990) の光化学モデルにより、緯度、高度の関数として、季節ごとに与える。気相酸化反応率は Hynes et al.(1986)、DeMore et al.(1992) に従った。

Fig.8 は  $SO_2$  の気相酸化反応率の zonal mean である。液相酸化反応率(Fig.5)と比較すると、1 衍以上小さいことがわかる。

##### 4.4 Incloud scavenging

大気中の物質を取り込んだ雲粒が、降水となって消滅することによる除去過程を 'in-cloud scavenging' と呼び、吸湿性の極めて高い  $SO_4^{2-}$  の主な除去過程である(Hobbs, 1993)。また、溶解度の比較的高い  $SO_2$  についてもこの効果は大きい。

###### (1) 降水生成率

まず各 grid box における降水生成率 ( $gm^{-3}s^{-1}$ ) を求める。鉛直気柱において各層より生成される降水は、その層における雨雲(Ns,Cb)の凝結水に比例すると仮定する。地表における平均降水量を  $P_0 (gm^{-2}s^{-1})$  とすると、降水生成率  $P$  は

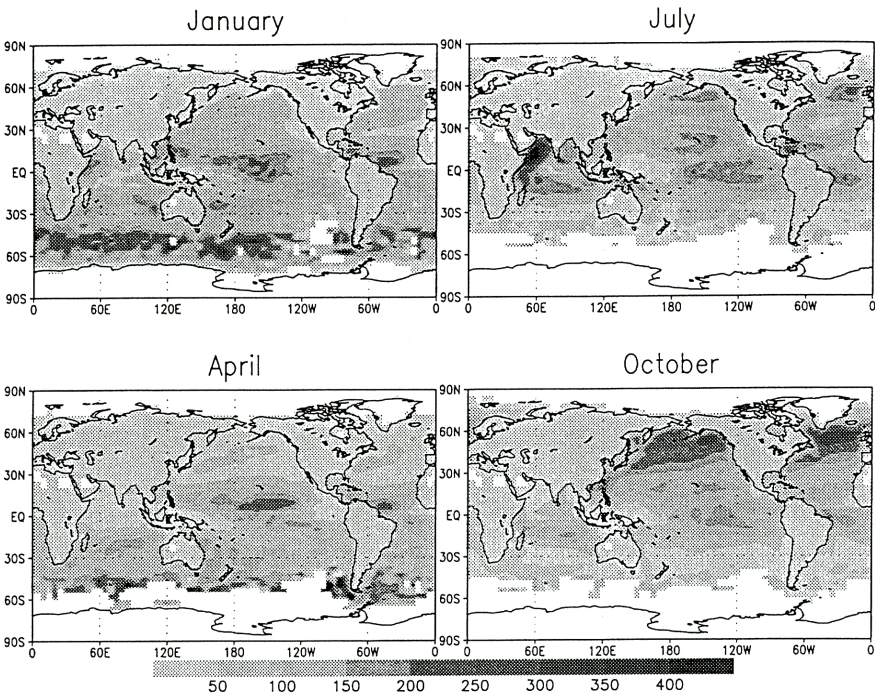


Fig. 7 Monthly averaged DMS emission (Unit:  $\mu\text{gS}/\text{m}^2/\text{day}$ ) from Spiro et al.(1992)

$$P = P_0 \cdot \frac{LWC_{Ns} + LWC_{Cb}}{\int_{surface}^{top} (LWC_{Ns} + LWC_{Cb}) dz} \quad (15)$$

となる。 $P_0$  の値は NCEP Reanalysis Dataset の月平均値を用いた。

### (2) $SO_4^{2-}$

Junge et al.(1957) より、 $SO_4^{2-}$  の消滅量は以下のように評価される。

$$-\frac{\partial \mu SO_4^{2-}}{\partial t} = \epsilon \cdot \frac{P}{LWC} \cdot \mu SO_4^{2-} \quad (16)$$

ここで、 $\epsilon$  は雲粒による  $SO_4^{2-}$  の捕捉率である。

Langner and Rodhe(1991)によれば、雲の中での捕捉率は 0.85 ~ 1.0 であるが、ここでは 0.9 とした。よって、

$$\epsilon = 0.9 \times V_c \quad (17)$$

### (3) $SO_2$

Section 3.において気相濃度から凝結水中の  $SO_2$  の濃度が求ることを示した。凝結水中の  $SO_3$  の濃度に降水生成率をかけあわせれば  $SO_2$  の消滅量が求まる。

$$-\frac{\partial \mu SO_2}{\partial t} = \frac{10^{-6}}{(H'_{SO_2} RT)^{-1} + LWC \times 10^{-6}} \times P \cdot \mu SO_2 \quad (18)$$

### 4.5 Subcloud scavenging

大気中の物質が落下する雨粒との衝突により除去される過程を subcloud scavenging という。この過程による  $SO_4^{2-}$ 、および  $SO_2$  の消滅量は、それぞれ Berge(1993)、Martin(1984) に従って評価した。

incloud scavenging による消滅量と subcloud scavenging による消滅量を比較すると、 $SO_4^{2-}$  の場合は incloud scavenging が圧倒的に卓越する。一方、 $SO_2$  の場合は、熱帯および夏半球で subcloud scavenging、冬半球で incloud scavenging が卓越することが示された。

### 4.6 乾性沈着

地表における  $SO_2$  および  $SO_4^{2-}$  の乾性沈着は地表付近の気象条件、地表の条件、および化学種の物理化学特性に依存する複雑な過程であるが、鉛直方

Emission	Global	Northern Hemisphere	Southern Hemisphere
Anthropogenic $SO_2$	67(73%)	61(66%)	6(7%)
Biomass burning $SO_2$	2.3(2%)	1.3(1.4%)	1.0(1%)
Volcanic $SO_2$	9.9(11%)	7.9(8.6%)	2(2%)
Total $SO_2$	79.2(86%)	70.2(76%)	9(10%)
Oceanic DMS	12(13%)	5.3(5.8%)	6.6(7%)
Terrestrial DMS	0.1(0.1%)	0.1(0.1%)	0.1(0.1%)
Total DMS	12.1(13%)	5.4(5.9%)	6.7(7.1%)
Terrestrial $H_2S$	0.7(1%)	0.4(0.6%)	0.3(0.4%)
Total	92	76(82.5%)	16(17.4%)

Table 2 Annual sulfur emissions used in the model (unit:TgS/yr)

derived from GEIA Inventory version 1B for anthropogenic source ; Spiro et al.(1992) for natural source

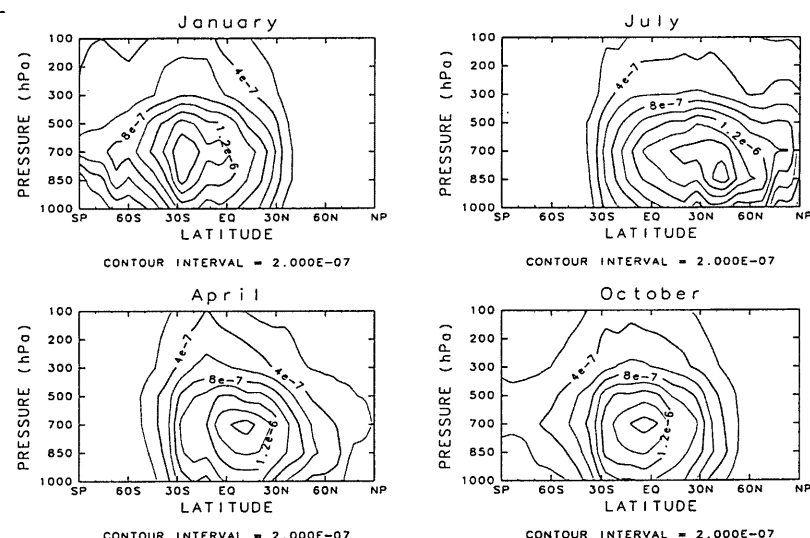


Fig. 8 Seasonal variation of monthly zonally averaged gaseous oxidation rate of  $SO_2$  (Unit: $s^{-1}$ )

向の解像度が粗いため、ここでは沈着速度による簡単なparametralizationを用いている。最下層中央部(高度300m =  $z_0$ )における沈着速度 $v_1$ はLangner and Rodhe (1991)より

$$v_1 = \frac{v_0}{1 + \frac{v_0 z_0}{K_{zz}}} \quad (19)$$

ここで $K_{zz}$ は最下層の鉛直拡散係数、 $v_0$ は高度1mでの沈着速度である。最下層の厚みを $\Delta Z_1$ とす

ると、乾性沈着による消滅量は

$$-\frac{\partial \mu}{\partial t} = \frac{v_1}{\Delta Z_1} \cdot \mu \quad (20)$$

ただし、これは最下層の下側半分での沈着量を無視しており、特に地表に放出起源を持つ $SO_2$ の場合、過大評価となる可能性が大きい。 $v_0$ の値はTable3の通り。地表のLand,Water,Snow/Ice coverはISCCP D2 Datasetによる。

	Water	Land	Snow/Ice
$SO_3$	0.8	0.6	0.1
$SO_4^{2-}$	0.2	0.2	0.2

Table 3 Dry deposition velocities  $v_0$  in  $\text{cm s}^{-1}$  from Langner and Rodhe (1991)

#### 4.7 積雲対流による鉛直輸送

積雲対流の発生に伴う強い上昇流によって、対流圏の物質は下層から上層へ輸送される。この過程はサブグリッドスケールで発生するため、硫黄化合物のような寿命の短い物質の場合、大規模場での移流や拡散で再現することはできない。そこで、Feichter and Crutzen(1990)のパラメタリゼイションに従い、積雲対流による鉛直輸送量を見積もる。

ただし、これはDMSおよび $H_2S$ にのみ適用する。 $SO_4^{2-}$ は雲の中ではほとんどすべて雲粒の中に存在すると考えられるが、雲粒は対流による上昇と重力による下降を繰り返し、実質的に止まっているからである。 $SO_2$ の場合、すべてが雲粒に溶けているわけではないのである程度の効果はあるものと思われるが、今回は適用しない。

鉛直輸送量を評価するため、まず積雲対流イベントがいつどこで発生するかを決め、一回のイベントにより輸送される大気の質量を見積もってやる。

##### (1) 積雲対流イベントの発生

モデルの各鉛直気柱において、いつ積雲対流イベントが発生するかを決定するために、ISCCP C2 Dataset の積乱雲の出現頻度のデータを用いる。これは出現頻度を3時間ごとに評価したものの月平均データである。そこで、モデルでの積雲対流の評価は3時間ごとに行なう。出現頻度を $f_c$ とすると、1ヶ月間に発生する回数 $N_c$ は、

$$N_c = \text{日数} \times 8 \times f_c \quad (21)$$

となる。評価する回数、(日数×8)回のうち、いつ発生するかは任意に決める。

##### (2) 鉛直輸送量の見積もり

一回の対流イベントにより、高度 $z$ を通過して輸送される大気の質量を $M_U(z)$ とすると、grid boxの下端と上端での $M_U(z)$ の差 $\Delta M_U(z)$ が、そのboxにおいて流入( $\Delta M_U(z) > 0$ )もしくは流出( $\Delta M_U(z) < 0$ )する大気の質量である。 $M_U(z)$ はFeichter and Crutzen(1990)により、水蒸気の收支から一回の対流イベントにより凝結する水の質量を求め、そのうちの3分の1が対流性降雨として落下すると仮定することにより見積もる。対流性降雨量の値としてNCEP Reanalysis のConvective Precipitation データを用いた。

下層のboxから取り込んだ化学種は上昇流の中で一様になると仮定して、上層のboxで吐き出される

大気の質量に応じて化学種を分配する。また、対流イベントの後の緩やかな下降流によって、大規模場での質量は保存するとする。

#### 4.8 初期値

まず、4種の化学種( $SO_4^{2-}, SO_2, DMS, H_2S$ )のすべての濃度を0として、1984年12月の物理量(風、気温など)を用いて1ヶ月間の積分を行なう。その結果を初期値としてさらに1984年12月に対して積分を行なう。さらにもう一度繰り返した結果を1985年1月1日午前0時の初期値として用いる。

今回扱う硫黄化合物はいずれも寿命が10日より短い物質であって、下層においては、初期値を求めるための積分は20日間も行なえば十分であるが、上層では寿命が長くなり物質の流入が不十分となる可能性があるため、念のために3ヶ月間の積分を行なった。

#### 5. 結果

ここではモデルの結果について述べ、検証のためには観測値との比較を行い、またExplicit ModelとImplicit Modelの結果の比較を行う。検証に用いたデータは過去に観測されたものから引用してきたものであるが、年間を通じて全球をカバーできるほどの数ではなく、モデルを検証するにはかなり不十分である。またこれらの多くは数週間程度の観測イベントにより測定されたデータであり、その時の気象条件の影響を大きく受けている。さらに硫黄化合物の濃度の測定は一般に困難なものである。一方、モデルによる値はgrid boxの平均値であり、また観測された時期に対応する月の平均値である。観測された当時の気象条件を考慮したモデルでもない。比較のためには少なくとも1ヶ月、可能ならば数年間の観測の平均値を用いるのが望ましい。

なお、DMSと $H_2S$ についてはExplicit ModelとImplicit Modelで全く同じ結果となるので、これらについての比較は行わない。

#### 5.1 DMS

Fig.9はモデルによって計算された1000hPaにおけるDMS濃度の季節平均分布である。DMSの放出起源はほとんどが海であるため、陸上では1年を通じて25pptv以下のごく低濃度となっている。DMSの寿命が短いことから(モデルの計算によると2.4day)、放出量の分布(Fig7)を強く反映した季節変化を見せており、3月4月の南半球、9月10月の北半球60度付近で最大(200pptv程度)となる。

Table4は観測値との比較である。観測された値が広範囲に及ぶため、モデルの結果がその範囲におさまることがほとんどであるが、平均値、もしくは中间値と比較すると過小評価している傾向がある。前述の通り、海からのDMSの放出量の見積もりは

困難であり、モデルで用いた放出量のデータ (Spiro et al., 1992) は、Spiro et al.(1992)によれば誤差は±50%で、それ以前の見積もり (Bates et al., 1987) より 25% 小さいということである。このあたりに原因があると思われる。

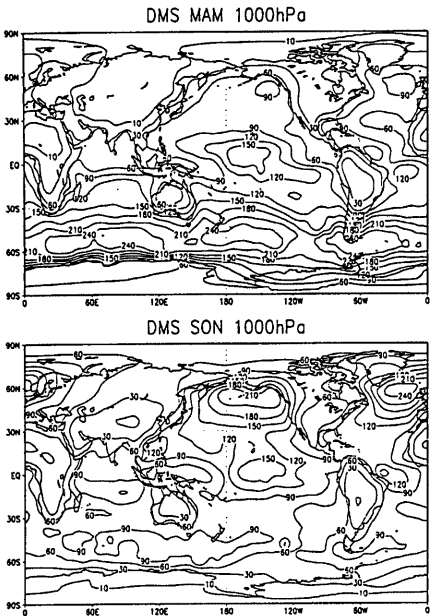


Fig. 9 Seasonally averaged DMS distribution at 1000hPa (Unit: pptv).  
Upside: March to May, Downside: September to November

## 5.2 $H_2S$

Fig10はモデルによる  $H_2S$  濃度の季節平均分布である。寿命が短いため(モデルによる計算では 3.5day)、DMS 同様、放出起源の分布を強く反映する。熱帯の森林地帯を中心広がり、北半球中緯度の陸上では夏季に高濃度となる。最大値は 60pptv 程度である。

モデルによれば海洋上では一年を通じてほとんど存在しない(1pptv 以下)。ここでは海からの  $H_2S$  の放出については考えていないが、Herrmann and Jaeschke(1984), Saltzman and Cooper(1988)によれば、海洋上では 20pptv 程度の  $H_2S$  が存在するとして、海からの放出を示唆している。

Table5で観測値との比較を行っている。1990 年以前の観測 (Reference:1 ~ 4) では数百 pptv にも及

ぶ濃度が報告され、モデルの結果と大きく食い違っている。その原因のひとつには、土壤からの非常に局所的な  $H_2S$  の放出はモデルでは再現されないことが挙げられるが、Andreae(1988a)によれば、土壤から放出される  $H_2S$  は tree canopy の下ですぐに除去されてしまうために、それ以前の  $H_2S$  濃度の観測値は過大評価しているとしている。その後の観測例 (Reference:5,6) では  $H_2S$  濃度は 30pptv 程度であり、下層ではモデルの結果とよい対応を見せていている。ただし自由対流圏では過小評価となっている。

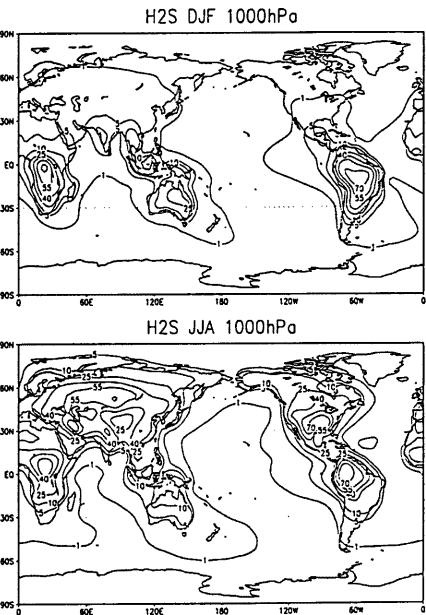


Fig. 10 Seasonally averaged  $H_2S$  distribution at 1000hPa (Unit: pptv).  
Upside: December to February, Downside: June to August

## 5.3 $SO_2$

Fig11はモデルによる地表面付近の  $SO_2$  濃度の季節平均分布である。左側が Explicit Model、右側が Implicit Model による結果を表している。両モデルとも、 $SO_2$  の人為起源の分布を強く反映し、ヨーロッパ、東アジア、北米東部でいずれも 5ppbv を超える高濃度となるが、寿命が短いために(計算によれば、Explicit Model で 0.9 day、Implicit Model で 2.2day)、250pptv を超えている領域は強い人為起源の周辺に限られており、 $SO_2$  の状態で広範囲の

Location	Time Period	Mean(Median)	Range	Model	Ref.
Bahamas	Nov	122(70)	3 ~ 469	43	1
	June	154(108)	25 ~ 300	47	2
Gulf of Mexico	Sept	25(24)	5 ~ 70	49	2
	June	232(115)	1 ~ 709	38	1
Caribbean	Feb/March	83(57)	16 ~ 104	57	2
	June	70 ± 6		70	3
Barbados	June		35 ~ 195	39	4
	Atlantic				
- 40°N,70-30°W	April/May	126	2 ~ 411	37	1
- 43°N,70°W	Jan/Feb		0.5 ~ 12	31	4
- 80°W,45°N	Jul/Aug	29 ± 25	1 ~ 110	4.4	5
- 65°W,45°N	Aug	101 ± 67	11 ~ 335	14	5
- 30-40°W,0-20°S	Oct		10 ~ 40	45	6
Equatorial Pacific	July	168(120)	47 ~ 289	79	1
	Nov	70	40 ~ 140	64	7
Tropical Pacific					
- 145-165°W,15°S-20°N	Feb/March	347	272 ~ 446	73	11
- 170°W,10°S-15°N	April/May	277 ± 178	57 ~ 647	71	16
Northeast Pacific	May		25 ~ 250	70	8
Cape Grim	Jun	167(130)	24 ~ 336	68	1
Antarctic	April	106 ± 55	17 ~ 236	102	10
	Dry season				12
Amazon Basin	- surface	16 ± 10		16	
	- mixed layer	9.1 ± 6.7		15	
- free troposphere		1.1 ± 0.8		1.4	
	Amazon Basin	Wet season			13
- surface		16 ± 10		29	
	- mixed layer	7.2 ± 3.1		29	
- free troposphere		0.9 ± 0.5		2.2	
Congo	Feb/March	30	7 ~ 75	11	14
Georgia	Jul/Sep		5 ~ 15	30	15

Table 4 Measurements of DMS at several locations at the surface, unless noted, and comparison with calculated by Explicit Model and Implicit Model for the same areas and time periods  
Unit of concentrations: pptv

Reference : 1, Andreae et al. (1985b); 2, Saltzman and Cooper (1988); 3, Ferek et al. (1986); 4, Van Valin et al. (1987); 5, Cooper and Saltzman (1991); 6, Barnard et al. (1982); 7, Nguyen et al. (1984); 8, Bates et al. (1990b); 9, Andreae et al. (1988b); 10, Berresheim (1987); 11, Huebert et al. (1993); 12, Andreae and Andreae (1988a); 13, Andreae et al. (1990); 14, Bingemer et al. (1992); 15, Berresheim and Vulcan (1992); 16, Quinn et al. (1990)

輸送を受けることはほとんどないと考えてよい。

季節変化を見ると、南半球では両モデルとも、DMS の放出量の少ない冬季に最小となる。北半球では Implicit Model の場合、液相酸化過程の大きい夏季に最小となる。一方、Explicit Model では、液相酸化過程は冬季に最大となるため、全般的に濃度が冬季に最小となるのであるが、夏季は降水による沈着量も増えるため、ヨーロッパと東アジアの強い人為起源の近傍では濃度はむしろ夏季に最小となって

いる。

Table 6 は観測値と Explicit Model (EX.Model) および Implicit Model (IM.Model) による濃度の比較である。多くの場合、両モデルとも観測値の ±50% 程度の範囲におさまっているようであるが、Implicit Model は上部対流圏において、かなりの過大評価となることが多いようである。高度 5Km 以上では火山から放出された  $SO_2$  が卓越するのであるが、Implicit Model の液相酸化過程はほとんど

Location	Time Period	Mean	Range	Model	Ref.
Bahama	June	59	10 ~ 260	6.4	1
Gulf of Mexico	Sept	46	30 ~ 90	13	1
Caribbean	Feb/March	8.5	0 ~ 20	1.9	1
Atlantic	Oct	28	10 ~ 100	1.5	2
Northern Germany	June/Oct		100 ~ 530	6.4	3
Tropics	Jan		15 ~ 6400	5.9	4
Amazon Basin	Dry season				5
- surface		30 ± 12		32	
Amazon Basin	Wet season				5
- mixed layer		47 ± 21		22	
- free troposphere		7 ± 7		1.5	
Congo	Feb/March				6
- surface		24 ± 15		26	
- mixed layer		25 ± 16		19	
- free troposphere		7 ~ 13		1.4	

Table 5 Measurements of  $H_2S$  at several locations at the surface ,unless noted, and comparison with calculated by Explicit Model and Implicit Model for the same areas and time periods

Unit of concentrations: pptv

Reference: 1, Saltzman and Cooper (1988); 2, Herrmann and Jaeschke (1984); 3, Jaeschke et al. (1980); 4, Delmas and Servant (1983); 5, Andreae et al. (1990); 6, Bingemer et al. (1992)

850hPa でしか有効でないため、適当な消滅過程が存在せず  $SO_2$  の寿命が異常に延びて、このような濃度になったものと思われる。

#### 5.4 $SO_4^{2-}$

Fig.12はモデルによる地表面付近の  $SO_4^{2-}$  濃度の季節平均分布である。  $SO_4^{2-}$  はすべて大気中の  $SO_2$  から生成されるものであるから、  $SO_2$  の人為起源の分布を反映した濃度分布となる。しかし  $SO_2$  に比べて寿命が長いことから (Explicit Model で 6.5day、Implicit Model で 8.3day)、かなり広範囲にわたる輸送を受けており、南北両半球とも大陸のほぼ全域で一年を通じて 100pptv を超えていることがわかる。最大値は冬季ヨーロッパでおよそ 3ppbv である。

両モデルとも北半球では冬季に、南半球では夏季に最大となっている。北半球で液相酸化過程が夏季に最大となるはずの Implicit Model でもこのような結果となるのは、降水による  $SO_4^{2-}$  の沈着量が夏季に大きくなるためである。吸湿性が極めて高い  $SO_4^{2-}$  は、降水による影響を  $SO_2$  よりさらに大きく受けているものと思われる。

液相酸化過程の大きさの違いのために、濃度は全体的に Explicit Model の方が高くなっている。特に Implicit Model では強い人為放出起源付近の高濃度があまり再現されていない。一方、Implicit Model は液相酸化過程が陸上より海洋上で大きくなる傾向があることから、北太平洋や北大西洋上では Ex-

plicit Model より高濃度となる場合も見られる。しかし全体的には、地表付近の濃度を見る限り、Explicit Model と Implicit Model の濃度分布には液相酸化反応率の違いから期待されたほどの差はみられない。

Fig.13は 700hPa(高度約 3Km) での分布である、液相酸化過程の効果が比較的大きく、しかも地表面付近よりも降水による除去過程の影響が少ないと思われる。ここでは冬季ヨーロッパ上空において Explicit Model にのみ、1ppbv を超える高濃度が現れている。さらに 500pptv 以上の濃度がヨーロッパから東アジアにかけて現れており、Implicit Model の結果とは明らかに異なる。

Table 7 は  $SO_4^{2-}$  の観測値とモデルの結果の比較である。残念ながら冬季ヨーロッパ上空での観測例がなく、Explicit Model と Implicit Model であまり値が変わらないために、どちらのモデルがより現実の値に近いかを言うことはできない。どちらのモデルも概ね観測値の 2 倍程度には収まっている。

#### 5.5 Global Sulfur Budget

Table 8 はモデルから見積もった対流圈硫黄化合物の一年間の收支である。それぞれの化学種について年間の生成量、全球総量、寿命の全球平均値(生成量と全球総量の比)、さらに  $SO_2$ ,  $SO_4^{2-}$  については生成、消滅における諸過程の内訳を記してある。

DMS の寿命は 2.4 日であった。従来の研究によると、Langner and Rodhe(1991) では 3.0 日、Pham

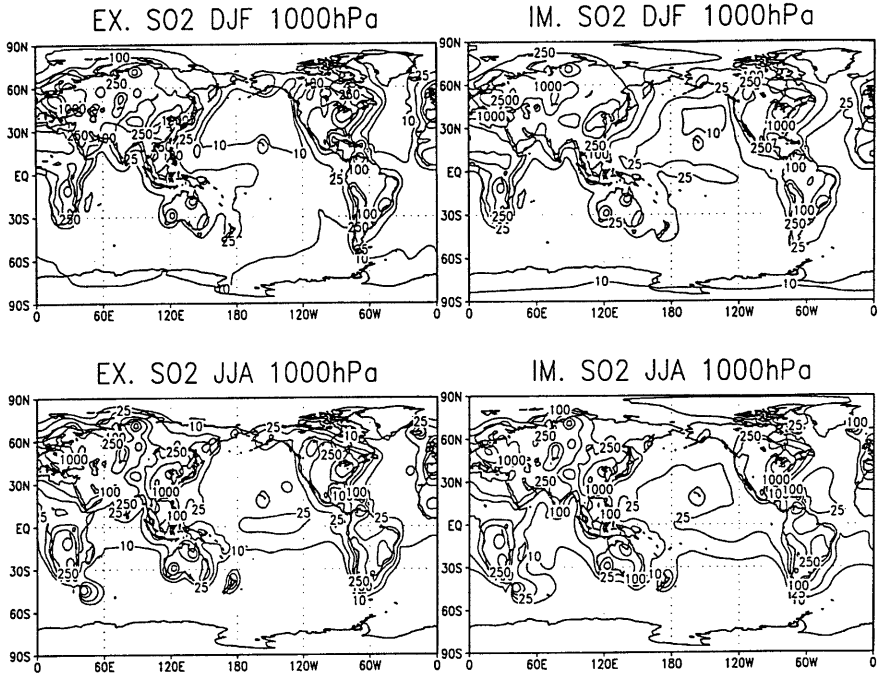


Fig. 11 Seasonally averaged  $SO_2$  distribution at 1000hPa (Unit: pptv)  
 Leftside: calculated by Explicit Model, Rightside: by Implicit Model  
 Upside: December to February, Downside: June to August

et al.(1995) では 0.6 日と、ばらつきがあり、海からの放出量としてどのようなデータを用いたかに依存するところが大きいようである。

$H_2S$  の寿命は 3.5 日であった。 $H_2S$  については扱っている 3 次元モデルが少ないが、Warneck(1988) では 4.4 日とされている。

$SO_2$  の寿命は Explicit Model(0.9day) と Implicit Model(2.2day) で大きく異なる。Langner and Rodhe(1991) では 1.2day、Pham et al.(1995) では 0.6day と、従来の研究では 1day 前後となっている。液相酸化過程による消減量では Explicit Model は Implicit Model より 20.3TgS/ry 大きく、その分、他の過程による消減量は小さくなっている。いずれにしても  $SO_2$  の最大の消滅過程は液相酸化過程である (Explicit Model で全消滅量の 70%、Implicit Model で 48%)。

$SO_4^{2-}$  の寿命も Explicit Model(6.5day) と Implicit Model(8.3day) で大きく異なる。全球総量がほぼ同じであるから、これはそのまま  $SO_2$  の酸化過程による生成量の違いが反映されている。両モデ

ルとも  $SO_4$  の 90% 以上が液相において生成されている (Möller, 1995) という説を裏付けている。一方  $SO_2$  の消滅過程で主なものは湿性沈着過程で、全消滅量の (85%) 程度となっている。

## 6. 考察

Explicit Model は液相酸化過程を陽に表現し、それによる酸化反応率は Implicit Model とは大きく異なるものであった。ところが  $SO_4^{2-}$  濃度には期待されたほどの顕著な違いはなかった。ここではその原因について考えてみる。

### 6.1 $SO_4^{2-}$ 濃度の生成量に対する感度

Table8 の  $SO_2$  の消滅量の内訳を見ると、 $SO_2$  の液相酸化過程を陽に扱うことによって、これによる消滅量が 20.3TgS/yr、全消滅量に対して 22% 増加している。Implicit Model ではこれに伴い、Explicit Model に対して  $SO_2$  の全球総量および寿命が 2.4 倍となっている。液相酸化過程の扱いに対する

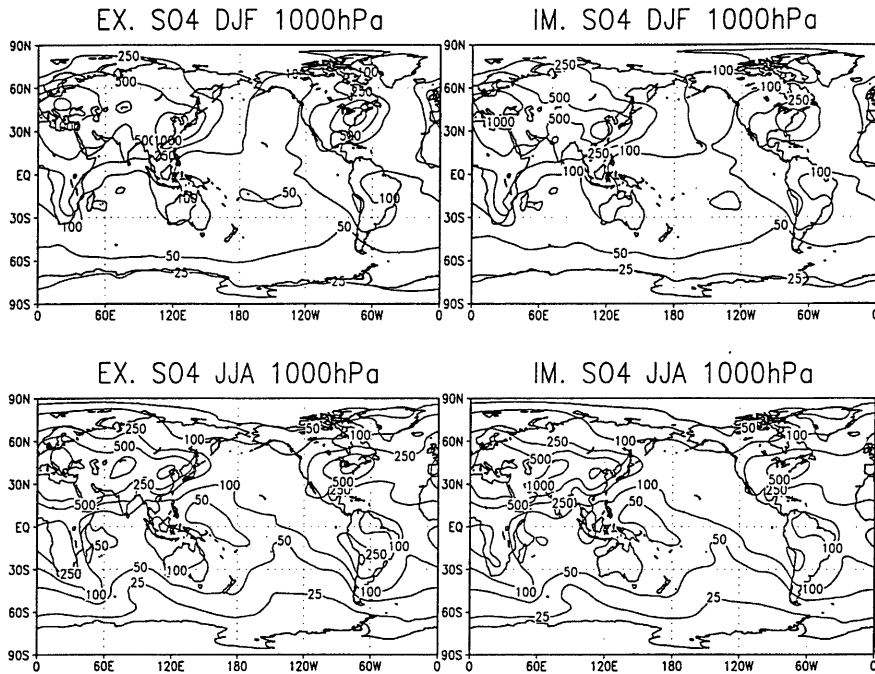


Fig. 12 Seasonally averaged  $SO_4$  distribution at 1000hPa (Unit: pptv)

Leftside: calculated by Explicit Model, Rightside: by Implicit Model  
Upside: December to February, Downside: June to August

$SO_2$  濃度の感度はかなり大きいと考えてよい。

これに対して、 $SO_4^{2-}$  の全球総量の増加は 0.1TgS、Implicit Model に対して 1.09 倍に過ぎない。一方、 $SO_4^{2-}$  の湿性沈着量は 15.7TgS/yr 増加して 1.4 倍となっている。 $SO_4^{2-}$  の生成量の増分に対する全球総量の変化はあまりに少なく、その影響はむしろ湿性沈着量の増加に現れている。また、 $SO_4^{2-}$  の消減量の内訳では両モデルとも約 85% が湿性沈着により除去されている。これらのことから、 $SO_4^{2-}$  は吸湿性が極めて高いため、液相酸化反応率の違いにより一時的に高濃度となることがあっても、過剰な  $SO_4^{2-}$  はすぐに降水によって除去されてしまうものと思われる。

## 6.2 Explicit Model の問題点

結果的に本研究での対照実験では、北半球冬季中層大気以外では液相酸化過程を陽に表現することの優位性は示せなかった。しかし今回開発した Explicit Model は液相酸化過程を陽に表現したといふものの、以下の点で不十分なものであった。

### 1. 凝結水量と雲の不均一性

言うまでもなく雲は空間的に一様なものではなく、サブグリッドスケールに局在するものである。また時間的にも常に存在するものではない。今回、雲は一様なものであるとして雲の climatology data を用いた単純な手法によって grid box における凝結水量の平均値を見積もったが、時間の関数としてより正確な値が求められる。またサブグリッドスケールでの非均一性を考慮せずに液相酸化反応率を評価した場合、過大評価となっている可能性がある。雲の非均一性を考慮するとすれば、grid box 内において、反応の生じる雲の内部に対して、反応の生じない外部の大気から  $SO_2$  の流入がどの程度起ころかを考える必要がある。

### 2. 酸化剤の濃度の時間変化

今回は酸化剤の濃度は緯度、高度、季節 ( $H_2O_2$  は季節変化なし) の関数であり、反応の進み具合に関わらず一定として与えた。液相酸化反応率は酸化剤の濃度に比例するため、このデータ

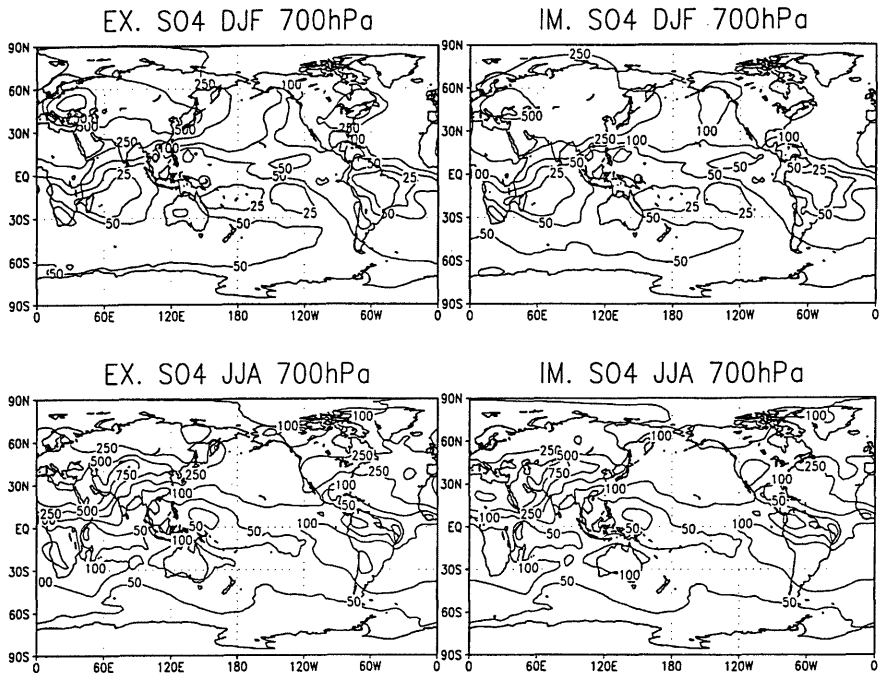


Fig. 13 Same as Fig.12 except at 700hPa

は重要なものである。当然3次元的に与えるべきものであるが、さらに反応の進みぐあいによる酸化剤の濃度の変化も考慮する必要がある。 $SO_2$ を1分子酸化すれば、酸化剤もまた1分子消滅することになる。Chameides(1984)のボックスモデルの結果によれば、消費した酸化剤は光化学反応により、液相において補填されるので、必ずしも減って行くとは限らないのであるが、強い人為起源の近傍の汚染大気では $SO_2$ が大量に存在するために酸化剤の生産が追い付かず、酸化しきれないことが起こりうると考えられている(Langner and Rodhe,1991)。

### 3. pH の扱い

今回、凝結水のpHは一定と仮定したが、酸化反応が進めばpHが下がり、 $O_3$ による酸化反応は低下する。これを一定とすれば、当然、過大評価となる。

### 4. 金属イオンを触媒とする溶存 $O_2$ による触媒酸化反応

冒頭で扱いが困難であるとした、この反応についての詳細も近年明らかになりつつあるよう

である。近い将来扱う事が可能になると思われる。

さらに $SO_4^{2-}$ のincloud scavengingについての改良が望まれる。本研究で $SO_4^{2-}$ の大気中濃度にとって、生成過程である液相酸化反応と同等かそれ以上に、除去過程であるincloud scavengingが非常に重要であることが示唆された。今回は非常に単純なバラメタリゼイションを用いたが、この過程は複雑な微物理過程である。これをうまく表現できるかどうかで、モデルの限界が決まるとも言える。また、この過程については、1.で述べたのと同様な、雲と雨の不均一性を考慮する必要がある。

そして何より、検証に使えるデータが求められる。今回は、北半球冬季高緯度においてExplicit ModelとImplicit Modelによる $SO_4^{2-}$ 濃度に顕著な違いが見られた。もし、冬のヨーロッパ上空で高濃度の $SO_4^{2-}$ が観測されれば、液相酸化仮定を陽に扱う重要性が確認されることになる。

Location	Time Period	Mean	Range	EX. Model	IM. Model	Ref.
NW. Atlantic	Summer					1
- 25-40°W, 55-65°N		157	35 ~ 903	169	164	
- 40-50°W, 45-55°N		14	1.4 ~ 46.5	288	288	
- 55-75°W, 35-40°N		299	48 ~ 4956	569	526	
- 60-70°W, 30-35°N		265	96 ~ 549	324	336	
Barbados	Annual mean	192 ± 53		131	146	2
NE. Pacific	May					3
- 0 Km			40 ~ 150	163	180	
- 1 Km			25 ~ 100	193	216	
- 2 Km			50 ~ 120	231	234	
- 3 Km			75 ~ 150	260	249	
Pacific	Annual mean					4
- Oahu		127 ± 15		80	142	
- Guam		128.5 ± 51		31	63	
- Midway		166 ± 196		128	128	
- Fanning		163 ± 46		62	99	
- Samoa		101 ± 41		37	53	
- New Caledonia		128 ± 100		59	73	
- Norfolk		82 ± 37		77	71	
Tropical Pacific	Feb/March	124	50 ~ 173	57	83	5
	April/May	99 ± 52	45 ~ 213	35	76	11
Amazon Basin	Dry season					6
- surface		118 ± 119		93	80	
- mixed layer		129 ± 50		96	82	
- free troposphere		16 ± 7		33	29	
Amazon Basin	Wet season					7
- surface		67		85	94	
- mixed layer		76 ± 56		88	93	
- free troposphere		11 ± 4		38	50	
Georgia U.S.A.	Jul-Sep		1500 ~ 6800	604	473	8
Arctic	Annual mean					9
- 79°N, 12°E		167		153	146	
- 75°N, 19°E		219		226	203	
- 70°N, 25°E		368		375	277	
Tropopause	Spring	27 ~ 310		270	260	

Table 7 Measurements of  $SO_4^{2-}$  at several locations at the surface, unless noted, and comparison with calculated by Explicit Model and Implicit Model for the same areas and time periods

Unit of concentrations: pptv

Reference: 1, Galloway et al. (1990); 2, Savoie et al. (1989); 3, Andreae et al. (1988b); 4, Savoie and Prospero (1989); 5, Huebert et al. (1993); 6, Andreae and Andreae (1988a); 7, Andreae et al. (1990); 8, Berresheim and Vulcan (1992); 9, Heintzenberg and Larssen (1983); 10, Lazarus and Gandrud (1974); 11, Quinn et al. (1990)

	EX. Model	IM. Model
$SO_2$		
Source(TgS/yr)		same as EX.
Anthropogenic	67(73%)	
Biomass burning	2.3 (2%)	
Volcanoes	9.9(11%)	
Oxidation	12.8 (14%)	
Sink(TgS/yr)		
Aqueous oxidation	64.7(70%)	44.4(48%)
Gaseous oxidation	1.5(2%)	3.8(4%)
Wet Deposition	10(11%)	22.5(25%)
Dry Deposition	16(17%)	21.5(23%)
Burden(TgS)	0.23	0.56
Lifetime(day)	0.9	2.2
$SO_4^{2-}$		
Source(TgS/yr)		
Aqueous oxidation	64.7(98%)	44.4(92%)
Gaseous oxidation	1.5(2%)	3.8(8%)
Sink(TgS/yr)		
Wet Deposition	57.2(86%)	40.5(84%)
Dry Deposition	9(14%)	7.7(16%)
Burden(TgS)	1.2	1.1
Lifetime(day)	6.5	8.3
$DMS$		
Emission(TgS/yr)	12.1	same as EX.
Burden(TgS)	0.08	
Lifetime(day)	2.4	
$H_2S$		
Emission(TgS)	0.7	same as EX.
Burden(TgS)	0.007	
Lifetime(day)	3.5	

Table 8 Global sulfur budget estimated by Explicit Model and Implicit Model

## 7. 結論

本研究は対流圏硫酸濃度分布を再現、もしくは予測するための3次元オイラー形式輸送-化学モデルの開発に際し、対流圏 $SO_4^{2-}$ の生成を支配しているのは $SO_2$ の雲粒の中における液相酸化過程であり、これを陽に表現し、現実に近い多くの条件に依存させることができれば、硫酸濃度は従来のモデルによる結果とは大きく異なり、より現実に近い分布、即ち時間的、空間的偏りを再現したものになるはずであるという観点から行った。雲のclimatology dataから大気中凝結水量を診断的に見積もり、液相酸化過程を陽に表現したモデル(Explicit Model)を開発し、Langner and Rodhe(1991)のスキームに従ったモデル(Implicit Model)との対照実験を行った。

結果をまとめると以下の通り。

- 液相酸化反応率 자체は大きく異なり、Explicit Modelでは冬半球中緯度で最大、Implicit Modelでは熱帯および南半球冬季中緯度で最大となった。
- 北半球冬季高緯度中層で $SO_4^{2-}$ 濃度に大きな差がみられた。
- それ以外はExplicit Modelの方が若干高濃度になる程度で大きな差はみられなかつた。
- 観測値と比較すると両方のモデルで概ねよい対応がみられた。
- $SO_4^{2-}$ の90%以上は液相で生成される。
- $SO_4^{2-}$ の約85%が降水で除去される。
- $SO_4^{2-}$ は吸湿性が極めて高いため、過剰な $SO_4^{2-}$ はすぐに降水で除去されてしまい、液相酸化反応率の違いは大気中濃度には反映されにくい。
- $SO_4^{2-}$ の大気中濃度に対して、その生成を支配する液相酸化過程と同じかそれ以上に消滅を支配する incloud scavenging が重要となる。

## 謝辞

本研究は京都大学電波科学計算機実験装置を用いて行われました。関係各位に深く感謝します。

## 参考文献

- 菊地幸雄(1972)：スペクトル法、気象研究ノート第110号、日本気象学会、83-105  
 Andrae,M.O., R.J.Ferek, F.Bermonde, K.P.Byrd, R.T.Engstrom, S.Hardin, P.D.Houmère, F.LeMarrec, H.Raemdonck, and R.B. Chatfield (1985b) : Dimethyl sulfide in the marine atmosphere, J.Geophys.Res., 90, 12,891-12,900  
 Andrae,M.O., and T.W.Andrae (1988a) : The cycle of biogenic sulfur compounds over the Amazon Basin, 1, Dry Season, J.Geophys.Res., 93, 1487-1497  
 Andrae,M.O., H.Berresheim, T.W.Andrae, M.A. Kritz, T.S.Bates, and J.T.Merrill (1988b) : Vertical distribution of dimethylsulfide,sulfur dioxide,formic acid,aerosol ions, and radon over the Northeast Pacific Ocean, J.Atmos.Chem, 6, 149-173  
 Andrae,M.O., H.Berresheim, H.Bingemer, D.J.Jacob, B.L.Lewis, S.M.Li, and R.W.Talbot (1990) : The atmospheric sulfur cycle over the Amazon basin, 2, Wet Season, J.Geophys. Res., 95, 16,813-16,824  
 Barnard,W.R., Mo.O.Andrae, W.E.Watkins, H.Bingermer, and H.W.Georgii (1982) : The flux of dimethylsulfide from the oceans to the atmosphere, J.Geophys.Res., 87, 8787-8793

- Bates,T.S., J.D.Cline, R.H.Gammon, and S.R.Kelly-Hansen (1987) : Regional and seasonal variations in the flux of oceanic dimethylsulfide to the atmosphere, *J.Geophys.Res.*,92,2930-2938
- Bates,T.S., J.E.Johnson, P.K.Quinn, P.D.Goldan, W.C.Kuster, D.C.Covert, and C.J.Hahn (1990b) : The biogeochemical sulfur cycle in the marine boundary layer over the Northeast Pacific Ocean, *J.Atmos.Chem.*, 10, 59-81
- Berge,E. (1993) : Coupling of wet scavenging of sulphur to clouds in a numerical weather prediction model, *Tellus*, 45B, 1-22
- Berresheim,H. (1987) : Biogenic sulfur emissions from the subantarctic and antarctic oceand, *J.Geophys.Res.*,92,13,245-13,262
- Berresheim,H., M.O.Andreae, G.P.Ayers, R.W.Gillet, J.T.Merrill, V.J.Harris, and W.L. Chameides (1990) : Airbone measurements of dimethylsulfide,sulfur dioxide, and aerosols ions over the southern ocean south of Australia, *J.Atmos.Chem.*, 10, 342-370
- Berresheim,H., and V.D.Vulcan (1992) : Vertical distributions of COS,CS<sub>2</sub>,DMS and other sulfur compounds in a loblolly pine forest, *Atmos.Environ.*,26A,2031-2036
- Bingemer,H.G., M.O.Andreae, T.W.Andreae, P.Artaxo, G.Helas, D.J.Jacob, N.Mihalopoulos, and B.C.Nguyen (1992) : Sulphur gases and aerosols in and above the equatorial African rain forest, *J.Geophys.Res.*, 97, 6207-6219
- Boatman,J.F., D.L.Wellmann, C.C. van Valin, R.L.Gunter, J.D.Ray, H.Sievering, Y.Kim, S.W.Wilkinson, and M.Luria (1989) : Airbone sampling of selected trace chemicals above the central Unaited States, *J.Geophys.Res.*,94,5081-5093
- Chameides,W.L. (1984) : The Photochemistry of a Remote Marine Stratiform Cloud, *J.Geophys.Res.*89(D3), 4739-4755
- Cooper,D.J., and E.S.Saltzman (1991) : Measurements of atmospheric dimethyl sulfide and carbon disulfide in the Western Atlantic boundary layer, *J.Atmos.Chem.*,12,153-168
- Crutzen,P.J. (1976) : The possible importance of CSO for the sulphur layer of the stratosphere, *Geophys.Res.Lett.*,3,73-76
- Delmas,R., and J.Servant (1983) : Atmospheric balance of sulfur above an equatorial forest, *Tellus*,35B,110-120
- DeMore,W.B., S.P.Sander, D.M.Golden, R.F.Hampson, C.J.Howard, A.R.Ravishankara, C.E.Kolb, and M.H.Molina (1992) : Chemical kinetics and photochemical data for use in stratospheric modeling, *JPL Publ.*,92-120
- Feichter,J., and J.Crutzen (1990) : Parameterization of vertical tracer transport due to deep cumulus convection in a global transport model and its evaluation with <sup>222</sup>Radon measurements, *Tellus*,42B,100-117
- Ferek,R.J., R.B.Chatfield, and M.O.Andreae (1986) : Vertical distribution of dimethylsulfide in the marine atmosphere, *Nature*,320,514-516
- Galloway,J.N., W.C.Keene, A.A.P.Pszenny, D.M.Whelpdale, H.Sieveing, J.T.Merrill, and J.F.Boatman (1990) : Sulfur in the western north Atlantic Ocean atmosphere;Results from a summer 1988 ship/aircraft experiments, *Global Biogeochem. Cycles*,4,349-365
- Giorgi,F., and Chameides,W.L. (1985) : The Rain-out Parameterization in a Photochemical Model, *J.Geophys.Res.*90(D5),7872-7880
- Hegg,D.A. (1985) : The importance of liquid-phase oxidation of SO<sub>2</sub> in the troposphere, *J.Geophys.Res.*, 90(D2), 3773-3779
- Heintzenberg,J., and S.Larsen (1983) : SO<sub>2</sub> and SO<sub>2</sub><sup>2-</sup> in the arctic; Interpretation of observations at three Norwegian arctic-subarctic stations, *Tellus*,35B,255-265
- Herrmann,J., and W.Jaeschke (1984) : Measurements of H<sub>2</sub>S and SO<sub>2</sub> over the Atlantic Ocean, *J.Atmos.Chem.*,1,111-123
- Hough,A.M. (1991) : Development of a Two-Dimensional Global Tropospheric Model: Model Chemistry, *J.Geophys.Res.*96(D4), 7325-7362
- Huebert,B.J., S.Howell, P.Laj, J.E.Johnson, T.S.Bates, P.K.Quinn, V.Yegorov, A.D.Clarke, and J.N.Porter (1993) : Observations of the atmospheric sulfur cycle on SAGA 3, *J.Geophys.Res.*, 98, 16,985-16,995
- Hynes,A.J., P.H.Wine, and D.H.Semmes (1986) : Kinetics and mechanism of OH reactions with organic sulfides, *J.Phys.Chem.*,90,4148-4156
- Ishikawa,H. (1995) : Evaluation of the Effect of Horizontal Diffusion on the Long-Range Atmospheric Transport Simulation with Chernobyl Data, *J.Appl.Meteor.*, 34, 1653-1665
- Jaeschke,W., H.Claude, and J.Herrmann (1980) : Sources and sinks of atmospheric H<sub>2</sub>S, *J.Geophys.Res.*,85,5639-5644
- Junge,C.E., and Gustafson,P.E. (1957) : On the distribution of sea salt over the United States and its removal by precipitation, *Tellus*, 9, 164-

- Langner,J., and Rodhe,H. (1991) : A Global Three-Dimensional Model of the Tropospheric Sulfur Cycle, *J.Atmos.Chem.*, 13, 225-263
- Lazrus,A.L., and B.W.Gandrud (1974) : Stratospheric sulfate aerosol, *J.Geophys.Res.*,79,3424-3431
- Lelieveld,J., Crutzen,P.J., and Rodhe,H. (1989) : Zonal average cloud characteristics for global atmospheric chemistry modeling, Report CM-76, International Meteorological Institute,University of Stockholm.
- Maroulis,P.J., A.L.Torres, A.B.Goldberg, and A.R.Bandy (1980) : Atmospheric  $SO_2$  measurements on project Gametag, *J.Geophys.Res.*,85, 7345-7349
- Martin,A. (1984) : Estimated washout coefficients for sulfur dioxide, nitric oxide and ozone, *Atmos.Environ.*,18,1955-1961
- Meixner,R.X. (1984) : The vertical sulfur dioxide distribution at the tropopause level, *J.Atmos.Chem.*, 2, 175-189
- Möller (1995) : Sulfate Aerosols and Their Atmospheric Precursors, Aerosol forcing of climate, Environmental Sciences Research Report 17,Wiley,73-90
- Nguyen,B.C., B.Bonsang, and A.Gaudry (1983) : The role of the ocean in the global atmospheric sulfur cycle, *J.Geophys.Res.*88,10903-10914
- Nguyen,B.C., C.Bergeret, and G.Lambert (1984) : Exchange rates of dimethylsulfide between ocean and atmosphere,in Gas Transfer at Water Surfaces, edited by W.Brutsaert and G.H.Jirka,pp.539-545, D.Reidel, Norwell,Mass.
- Pham,M., J.-F.Müller, G.P.Brassieur, C.Granier, and G.Mégie (1995) : A three-dimensional study of the tropospheric sulfur cycle, *J.Geophys.Res.*,100(D12),26,061-26,092
- Quinn,P.K., T.S.Bates, J.E.Johnson, D.S.Covert, and R.J.Charlson (1990) : Interactions between the sulfur and reduced nitrogen cycles over the central Pacific Ocean, *J.Geophys.Res.*,95,16,405-16,416
- Saltzman,E.S., and D.J.Cooper (1988) : Shipboard measurements of atmospheric dimethylsulfide and hydrogen sulfide in the Caribbean and Gulf of Mexico, *J.Atmos.Chem.*, 7, 191-209
- Savoie,D.L., and J.M.Prospero (1989) : Comparison of oceanic and continental sources of non-sea-salt sulphate over the Pacific Ocean, *Nature*,339,685-687
- Spiro,P.A., D.J.Jacob, and J.A.Logan (1992) : Global inventory of sulfur emissions with  $1^\circ \times 1^\circ$  resolution , *J.Geophys.Res.*, 97, 6023-6036
- Spivakovsky,C.M., R.Yevich, J.A.Logan, S.C.Wofsy, M.B.McElroy, and M.J.Prather (1990) : Tropospheric OH in a Three-Dimensional Chemical Tracer Model:An Assessment Based on Observations of  $CH_3CCl_3$ , *J.Geophys.Res.*,95(D11),18,441-18,471
- Thornton,D.C., A.R.Bandy, and A.R.Driedger III (1987) : Sulfur dioxide over the Western Atlantic Ocean, *Global Biogeochem. Cycles*, 1, 317-328
- Van Valin,C.C., H.Berresheim, M.O.Andreae, and M.Luria (1987) : Dimethyl sulfide over the western Atlantic Ocean, *Geophys.Res.Lett.*, 14, 715-718
- Voldner,E., T.Scholtz, A.Li, and K. Davidson (1996) : Project Report: Sulfur Dioxide (seasonal), document file
- Warneck,P. (1988) : Chemistry of the natural atmosphere, International Geophysics series 41,Academic Press

### The effect of clouds on the tropospheric sulfur cycle

Tamon NIISOE\* and Hisahumi MURAMATSU

\* Graduate School of Science, Kyoto University

#### Synopsis

In developing a global three dimensional chemistry-transport model (CTM) of the tropospheric sulfur cycle, the aqueous oxidation process of  $SO_2$  gas, which dominates tropospheric sulfate aerosol production, is explicitly represented by using a cloud climatology dataset to estimate liquid water content. And another CTM employing a usual parametrization of the aqueous oxidation process is provided, and numerical simulations are carried out to demonstrate difference between tropospheric sulfate distributions derived from the two types of CTM.

**Keywords :***Tropospheric sulfate, Liquid water content, Aqueous oxidation*